



Číslicové spracovanie signálov II

2D filtrácia

Gregor Rozinaj

Katedra telekomunikácií

FEI STU Bratislava

Príprava fólií: Anton Marček

•
•
•

2D filtre (1/2)

Klasifikácia filtrov

- FIR
- IIR

Postup pri návrhu filtra

- **Špecifikácia filtra** - v závislosti od konkrétnej aplikácie
- **Návrh filtra** - určenie $h(n_1, n_2)$, resp. $H(z_1, z_2)$
- **Implementácia filtra** - realizácia diskrétneho systému s danou $h(n_1, n_2)$, resp. $H(z_1, z_2)$

•
•
•

2D filtré (2/2)

Praktické obmedzenia

- $h(n_1, n_2)$ - reálne
- stabilita sústavy

$$\sum_{n_1=-\infty}^{\infty} \sum_{n_2=-\infty}^{\infty} |h(n_1, n_2)| < \infty$$

•
•
•

FIR filtro - Vlastnosti (1/5)

Vlastnosti FIR filtrov - filtro s nulovou fázou

$$H(\Omega_1, \Omega_2) = \overline{H}(\Omega_1, \Omega_2)$$

Na základe symetrie FT

$$h(n_1, n_2) = \overline{h}(-n_1, -n_2)$$

pre reálne $h(n_1, n_2)$

$$h(n_1, n_2) = h(-n_1, -n_2)$$

Impulzová charakteristika filtra s nulovou fázou je symetrická vzhľadom na začiatok súradnicovej sústavy.

•
•
•

FIR filtro - Vlastnosti (2/5)

- Nech $h(n_1, n_2)$ je impulzová charakteristika FIR filtra s nulovou fázou. Potom:

$$\begin{aligned} H(\Omega_1, \Omega_2) &= \sum_{(n_1, n_2) \in R_h} h(n_1, n_2) e^{-j\Omega_1 n_1} e^{-j\Omega_2 n_2} = \\ &= h(0,0) + \sum_{(n_1, n_2) \in R'_h} h(n_1, n_2) e^{-j\Omega_1 n_1} e^{-j\Omega_2 n_2} + \sum_{(n_1, n_2) \in R''_h} h(n_1, n_2) e^{-j\Omega_1 n_1} e^{-j\Omega_2 n_2} \end{aligned}$$

$$R_h = (0,0) \cup R'_h \cup R''_h$$

R_h – oblasť nenulových $h(n_1, n_2)$

R''_h je R'_h zrkadlená cez zaciatoč súradnicovej sústavy

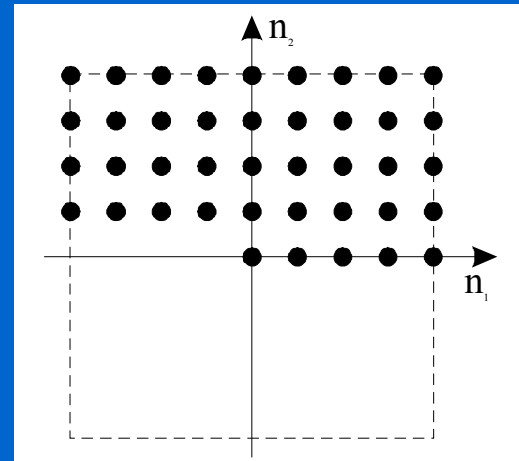
•
•
•

FIR filtro - Vlastnosti (3/5)

- S ohľadom na symetriu impulzovej char.:

$$\begin{aligned} H(\Omega_1, \Omega_2) &= h(0,0) + \sum_{(n_1, n_2) \in R'_h} \left(h(n_1, n_2) e^{-j\Omega_1 n_1} e^{-j\Omega_2 n_2} + h(-n_1, -n_2) e^{j\Omega_1 n_1} e^{j\Omega_2 n_2} \right) = \\ &= h(0,0) + \sum_{(n_1, n_2) \in R'_h} 2h(n_1, n_2) \cos(\Omega_1 n_1 + \Omega_2 n_2) \end{aligned}$$

=> asi polovica bodov
 $h(n_1, n_2)$ je nezávislá -
„*twofold symmetry*“



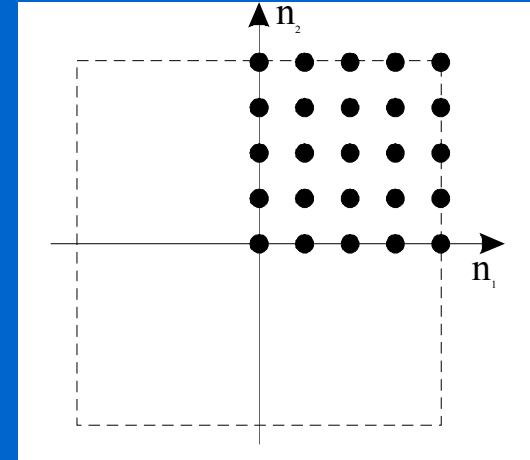
•
•
•

FIR filter - Vlastnosti (4/5)

- „fourfold symmetry“

$$h(n_1, n_2) = h(-n_1, n_2) = h(n_1, -n_2)$$

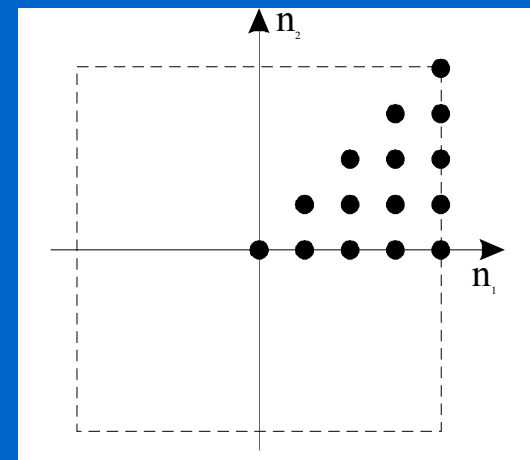
$$H(\Omega_1, \Omega_2) = H(-\Omega_1, \Omega_2) = H(\Omega_1, -\Omega_2)$$



- „eightfold symmetry“

$$h(n_1, n_2) = h(-n_1, n_2) = h(n_1, -n_2) = h(n_2, n_1)$$

$$H(\Omega_1, \Omega_2) = H(-\Omega_1, \Omega_2) = H(\Omega_1, -\Omega_2) = H(\Omega_2, \Omega_1)$$



•
•
•

FIR filtre - Vlastnosti (5/5)

Vzhľadom na rôzne typy symetrie sa znižuje počet nezávislých parametrov, ktoré majú byť pri návrhu filtra určené a tiež sa znižuje počet aritmetických operácií potrebných na ich implementáciu

•
•
•

FIR filter - Špecifikácia (1/8)

- Vo väčšine prípadov sú požiadavky určené vo frekvenčnej oblasti

$$\begin{aligned} H(\Omega_1, \Omega_2) &= H(\Omega_1 + 2\pi, \Omega_2) = H(\Omega_1, \Omega_2 + 2\pi) \\ H(\Omega_1, \Omega_2) \quad \text{pre } -\pi &\leq \Omega_1 \leq \pi, -\pi \leq \Omega_2 \leq \pi \\ &\text{úplne určuje } H(\Omega_1, \Omega_2) \end{aligned}$$

- $h(n_1, n_2)$ - reálne $\Rightarrow H(\Omega_1, \Omega_2) = \overline{H}(-\Omega_1, -\Omega_2)$

$$\begin{aligned} H(\Omega_1, \Omega_2) \quad \text{pre } -\pi &\leq \Omega_1 \leq \pi, 0 \leq \Omega_2 \leq \pi \\ &\text{úplne určuje } H(\Omega_1, \Omega_2) \text{ pre } \forall (\Omega_1, \Omega_2) \end{aligned}$$

•
•
•

FIR filtro - Špecifikácia (2/8)

- Frekvenčná char. je kruhovo symetrická, ak:

$$H(\Omega_1, \Omega_2) = \begin{cases} f(\Omega_1^2 + \Omega_2^2) & \text{pre } \sqrt{\Omega_1^2 + \Omega_2^2} \leq \pi \\ \text{konšt.} & \text{inde v rámci } -\pi \leq \Omega_1 \leq \pi, -\pi \leq \Omega_2 \leq \pi \end{cases}$$

- Impulzová char. je kruhovo symetrická, ak:

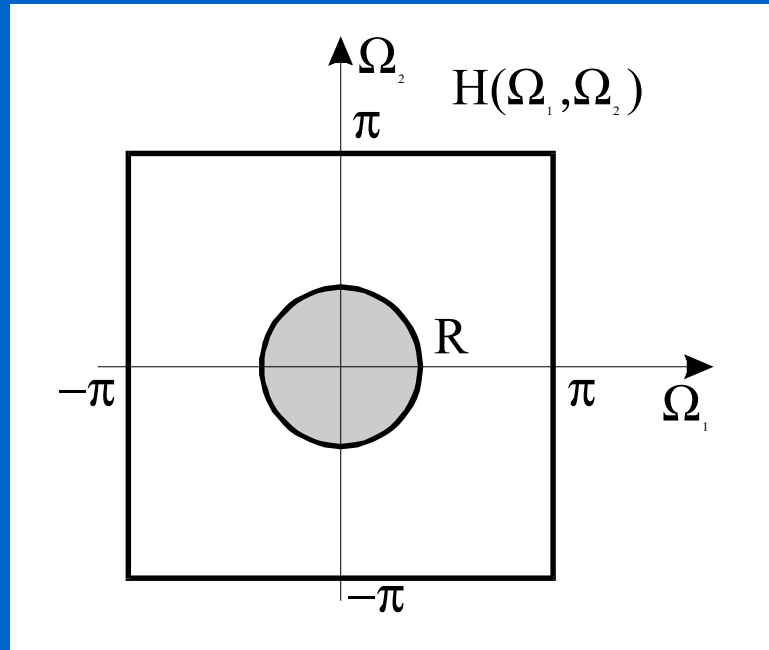
$$h(n_1, n_2) = f(n_1^2 + n_2^2)$$

*Ak $H(\Omega_1, \Omega_2)$ je kruhovo symetrická, potom
 $h(n_1, n_2)$ je kruhovo symetrická.*

*Ak $h(n_1, n_2)$ je kruhovo symetrická, nevyplýva
z toho kruhová symetria $H(\Omega_1, \Omega_2)$.*

FIR filter - Špecifikácia (3/8)

- Ideálny kruhovo symetrický DP filter



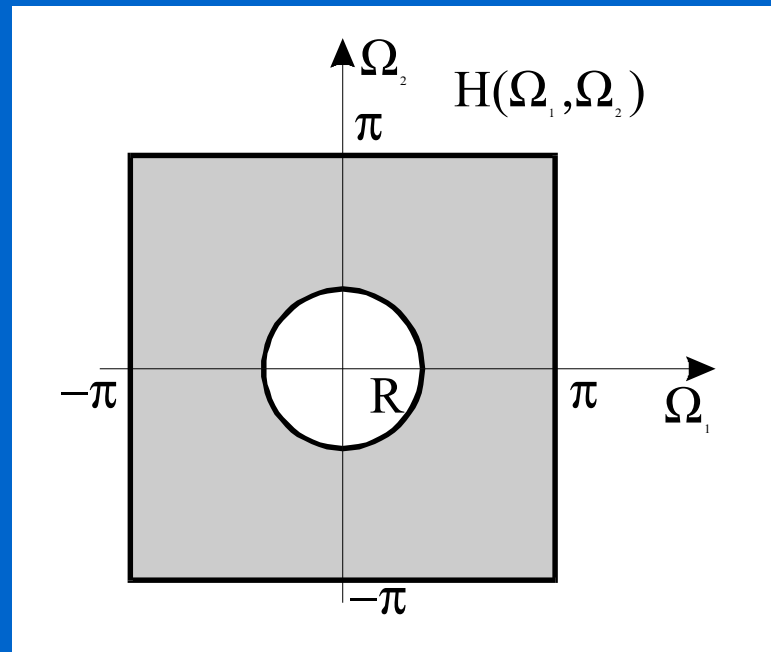
$$h_{DP}(n_1, n_2) = \frac{R}{2\pi\sqrt{n_1^2 + n_2^2}} J_1\left(R\sqrt{n_1^2 + n_2^2}\right)$$

$J_1(x)$ - Besselova fcia prvého
druhu a prvého rádu

$$J_1(x) = \frac{x}{2} - \frac{x^3}{2^3 \cdot 1! \cdot 2!} + \frac{x^5}{2^5 \cdot 2! \cdot 3!} - \frac{x^7}{2^7 \cdot 3! \cdot 4!} + \dots$$

FIR filtro - Špecifikácia (4/8)

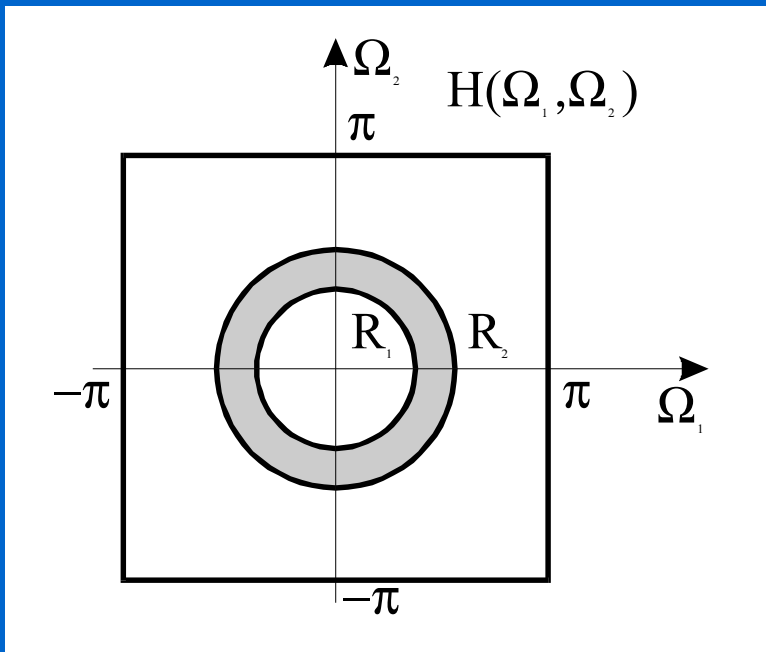
- Ideálny kruhovo symetrický HP filter



$$h_{HP}(n_1, n_2) = u(n_1, n_2) - h_{DP}(n_1, n_2)$$

FIR filter - Špecifikácia (5/8)

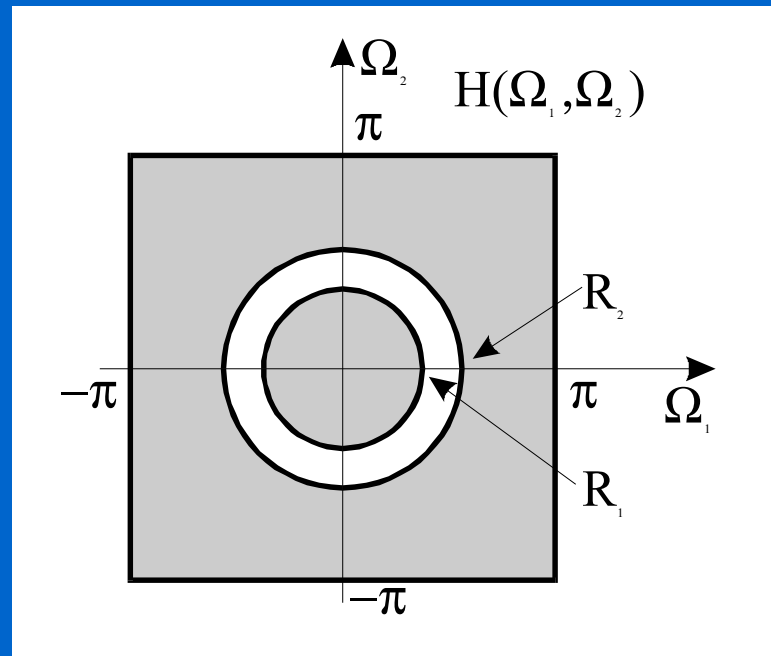
- Ideálny kruhovo symetrický PP filter



$$h_{PP}(n_1, n_2) = \frac{R_2}{2\pi\sqrt{n_1^2 + n_2^2}} J_1\left(R_2\sqrt{n_1^2 + n_2^2}\right) - \frac{R_1}{2\pi\sqrt{n_1^2 + n_2^2}} J_1\left(R_1\sqrt{n_1^2 + n_2^2}\right)$$

FIR filtro - Špecifikácia (6/8)

- Ideálny kruhovo symetrický PZ filter



$$h_{PZ}(n_1, n_2) = u(n_1, n_2) - h_{PP}(n_1, n_2)$$

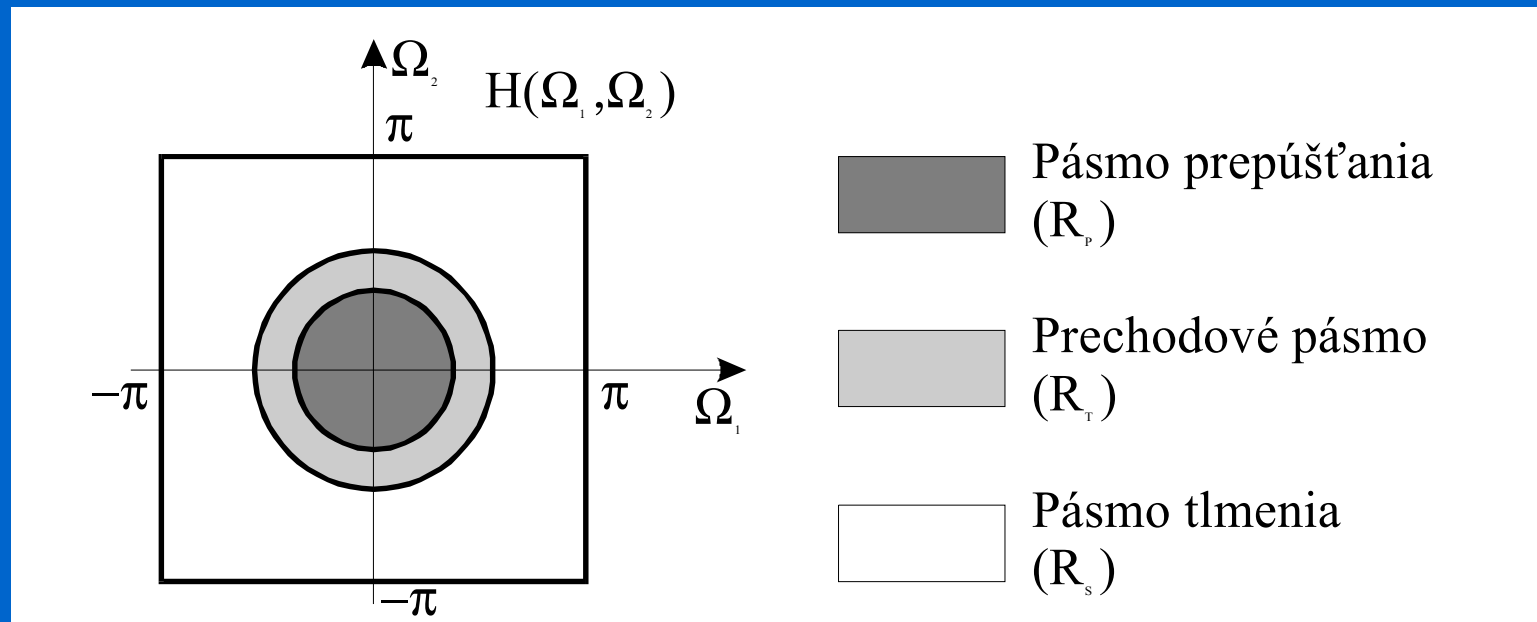
•
•
•

FIR filtro - Špecifikácia (7/8)

- $H(\Omega_1, \Omega_2)$ - komplexná funkcia => určiť
 - magnitúdu
 - fázu
- FIR filtro - nulová fáza => určiť len
 - magnitúdu
- *Tolerančný diagram* - špecifikácia požadovanej magnitúdovej frekvenčnej charakteristiky

FIR filtro - Špecifikácia (8/8)

Tolerančný diagram DP filtra



$$1 - \delta_p \leq |H(\Omega_1, \Omega_2)| \leq 1 + \delta_p \quad \text{pre } (\Omega_1, \Omega_2) \in R_p \quad (\text{pásмо prepúšťania})$$
$$- \delta_s \leq |H(\Omega_1, \Omega_2)| \leq \delta_s \quad \text{pre } (\Omega_1, \Omega_2) \in R_s \quad (\text{pásmo tlmenia})$$

•
•
•

FIR filter - Návrh (1/10)

Metódy návrhu

- Oknová metóda
- Metóda frekvenčného vzorkovania
- Metóda frekvenčnej transformácie
- Metóda návrhu optimálneho filtra

•
•
•

FIR filtro - Návrh (2/10)

Oknová metóda

- $H_d(\Omega_1, \Omega_2)$ - požadovaná frekv. charakteristika
- $h_d(n_1, n_2) = \text{IFT}[H_d(\Omega_1, \Omega_2)]$ - požadovaná impulzová char. - vo všeobecnosti nekonečná
- prenásobením $h_d(n_1, n_2)$ tzv. oknovou funkciou získame výslednú konečnú impulzovú char.

$$h(n_1, n_2) = h_d(n_1, n_2) \cdot w(n_1, n_2)$$

•
•
•

FIR filter - Návrh (3/10)

Oknová metóda (pokrač.)

- Ak $h_d(n_1, n_2)$ aj $w(n_1, n_2)$ sú symetrické oproti začiatku súradnicovej sústavy, tak aj výsledná charakteristika ($h(n_1, n_2)$) bude symetrická a filter bude mať nulovú fázu

$$\begin{aligned} H(\Omega_1, \Omega_2) &= H_d(\Omega_1, \Omega_2) \otimes W(\Omega_1, \Omega_2) = \\ &= \frac{1}{(2\pi)^2} \int_{\theta_1=-\pi}^{\pi} \int_{\theta_2=-\pi}^{\pi} H_d(\theta_1, \theta_2) W(\Omega_1 - \theta_1, \Omega_2 - \theta_2) d\theta_1 d\theta_2 \end{aligned}$$

- $H(\Omega_1, \Omega_2)$ - „zjemnená“ verzia $H_d(\Omega_1, \Omega_2)$

•
•
•

FIR filtro - Návrh (4/10)

Oknová metóda (pokrač.)

- 2D okná
 - separovateľné (2x1D okno)
 - na báze rotujúceho 1D okna
- Separovateľné 2D okno

$$w(n_1, n_2) = w_1(n_1) \cdot w_2(n_2) = w_c(t_1, t_2) \Big|_{t_1=n_1T_1, t_2=n_2T_2}$$

w_1, w_2 - 1D oknové sekvencie, resp. vzorky 1D analógovej oknovej funkcie

•
•
•

FIR filtro - Návrh (5/10)

Oknová metóda (pokrač.)

- Ak je frekvenčná charakteristika požadovaného filtra separovateľná, potom navrhнемe 2 1D filtro $h_1(n_1)$ a $h_2(n_2)$ a vynásobíme ich

$$h(n_1, n_2) = h_1(n_1) \cdot h_2(n_2)$$

- Ak boli oba 1D filtro navrhnuté oknovou metódou, je tento postup ekvivalentný s použitím 2D separovateľného okna.

•
•
•

FIR filtro - Návrh (6/10)

Oknová metóda (pokrač.)

- Rotujúce 1D okno

$$w(n_1, n_2) = w_c(t_1, t_2) \Big|_{t_1=n_1 T_1, t_2=n_2 T_2}$$
$$w_c(t_1, t_2) = w_a(t) \Big|_{t=\sqrt{t_1^2+t_2^2}}$$

$w_a(t)$ - analógové 1D okno \Rightarrow analógové 2D okno $w_c(t_1, t_2)$
sme získali rotáciou 1D analógového okna

$$w_a(t) = \begin{cases} 1 & |t| < \tau \\ 0 & \text{inak} \end{cases} \quad \text{- pravoúhle okno}$$

$$w_a(t) = \begin{cases} 0.54 + 0.46 \cos(\pi t / \tau) & |t| < \tau \\ 0 & \text{inak} \end{cases} \quad \text{- Hammingovo okno}$$

•
•
•

FIR filtr - Návrh (7/10)

Oknová metóda (pokrač.)

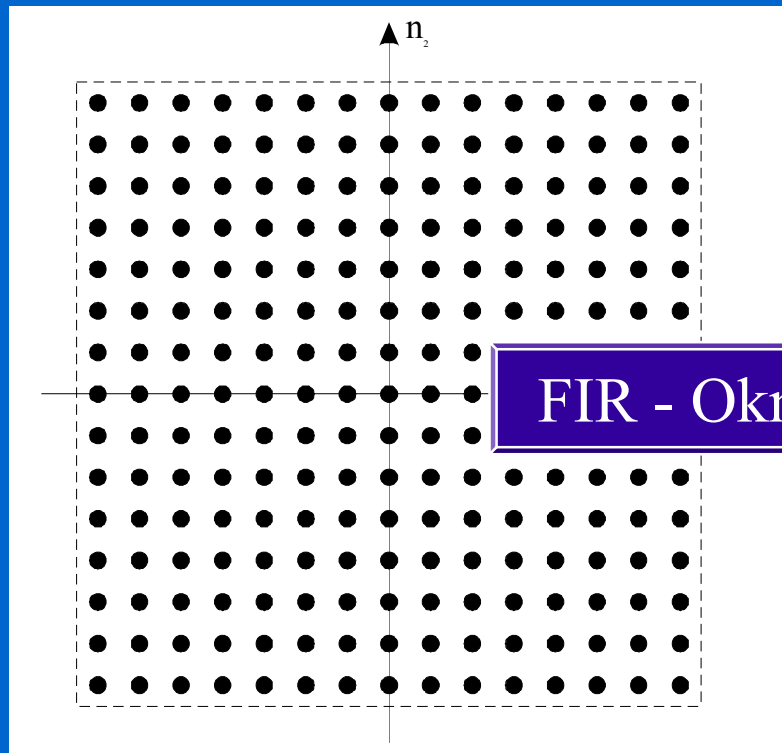
- Postup
 - požadovaná $H_d(\Omega_1, \Omega_2)$
 - $h_d(n_1, n_2) = \text{IFT}[H_d(\Omega_1, \Omega_2)]$
 - voľba okna - $w(n_1, n_2)$
 - $h(n_1, n_2) = h_d(n_1, n_2)w(n_1, n_2)$

•
•
•

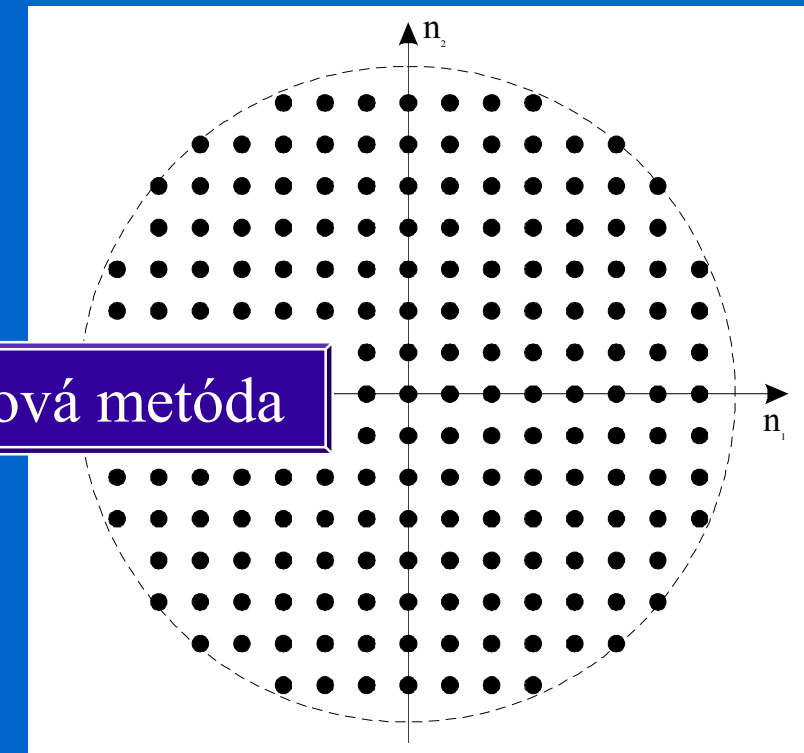
FIR filtre - Návrh (8/10)

Oknová metóda (pokrač.) - príklady okien

Separovateľné 2D pravoúhle



Rotujúce 1D pravoúhle



•
•
•

FIR filter - Návrh (9/10)

Metóda frekvenčného vzorkovania

- $H_d(\Omega_1, \Omega_2)$ - požadovaná frekv. charakteristika je rovnomerne vzorkovaná $\Rightarrow H'(k_1, k_2)$
- $H'(k_1, k_2)$ - transformovaná pomocou IDFT do priestorovej oblasti $\Rightarrow h'(n_1, n_2)$
- $h'(n_1, n_2)$ - posuv do začiatku súradnicovej sústavy $\Rightarrow h(n_1, n_2)$ symetrické okolo $(0,0)$

•
•
•

FIR filtro - Návrh (10/10)

Metóda frekvenčného vzorkovania (pokrač.)

$$1. \quad H'(k_1, k_2) = H_d(\Omega_1, \Omega_2) e^{-j\Omega_1 \frac{N_1-1}{2}} e^{-j\Omega_2 \frac{N_2-1}{2}} \Bigg|_{\Omega_1 = \frac{2\pi}{N_1} k_1, \Omega_2 = \frac{2\pi}{N_2} k_2}$$

$$\begin{aligned} &0 \leq k_1 \leq N_1 - 1, 0 \leq k_2 \leq N_2 - 1 \\ &N_1, N_2 \quad - \text{nepárne} \end{aligned}$$

$$2. \quad h'(n_1, n_2) = IDFT[H'(k_1, k_2)]$$

$$3. \quad h(n_1, n_2) = h'\left(n_1 + \frac{N_1-1}{2}, n_2 + \frac{N_2-1}{2}\right) \quad - \text{posuv do začiatku}$$

- Na zmenšenie prekmitov v pásme prepúšťania a tlmenia je vhodné definovať prechodové pásmo